

- [3] Лобач В. А., Шульгин Б. В., Шабанова И. Н., Трацеевников В. А., Сергушин И. Н.. Соболь А. А. // ФТТ. 1978. Т. 20. № 7. С. 2002—2004.
- [4] Abarenkov I. V., Antonova I. M. // Phys. St. Sol. (b). 1979. V. 93. P. 315—323.
- [5] Соболев А. Б., Лобач В. А., Шульгин Б. В. // ФТТ. 1985. Т. 27. № 10. С. 2931—2933.
- [6] Лобач В. А., Рубин И. П., Кружалов А. В., Шульгин Б. В., Иванов В. Ю. // ФТТ. 1987. Т. 29. № 9. С. 2610—2615.
- [7] Лобач В. А., Кулябин Б. Е., Жуков В. П., Медведева Н. И., Левашов М. В. // ФТТ. 1988. Т. 30. № 7. С. 2238—2240.
- [8] Taurian O. E., Tang Kai A. H., Lobatch V. A. // J. Phys. Chem. Sol. 1986. V. 47. N 1. P. 59—64.
- [9] Daude N., Joarin C., Gout C. // Phys. Rev. B. 1977. V. 15. N 4. P. 2399—2405.

Уральский политехнический  
институт им. С. М. Кирова  
Свердловск

Поступило в Редакцию  
16 января 1989 г.

УДК 537.226

*Физика твердого тела, том 31, с. 5, 1989*  
*Solid State Physics, vol. 31, N 5, 1989*

## АНОМАЛЬНЫЙ ГИСТЕРЕЗИС ПЕРЕСТРОЙКИ ДОМЕННОЙ СТРУКТУРЫ КРИСТАЛЛА $\text{Rb}_2\text{ZnCl}_4$ ПРИ ИЗМЕНЕНИИ ТЕМПЕРАТУРЫ

B. K. Magatayev, B. F. Glushkov, B. B. Gladkii,  
B. B. Kozin, L. M. Yakovleva

Христалл  $\text{Rb}_2\text{ZnCl}_4$  претерпевает два структурных фазовых перехода: при понижении температуры из исходной фазы  $D_{2h}$  в несоразмерную при  $T=T_c=30$  °C, а затем в соразмерную полярную фазу  $C_{2v}$  с утройством элементарной ячейки при  $T=T_g=195$  K. Спонтанная поляризация ниже  $T_c$  направлена вдоль оси  $b$  ( $Y$ ), а утройство ячейки происходит вдоль оси  $c$  ( $Z$ ) [1]. Многие аномальные свойства этого кристалла в области несоразмерной фазы, в частности различные эффекты «памяти», обусловлены закреплением квазидоменной (солитонной) структуры на неоднородностях решетки в метастабильных состояниях [1, 2].

Цель данной работы — выяснение характера изменения доменной структуры с температурой в полярной фазе  $\text{Rb}_2\text{ZnCl}_4$  по результатам измерения аномальной компоненты  $q_{23}$  макроскопического квадрупольного момента. Согласно [3], такая компонента пропорциональна спонтанной поляризации  $P_s$  и ширине  $L$  домена

$$q_{23} = (K/2) |P_s| L, \quad (1)$$

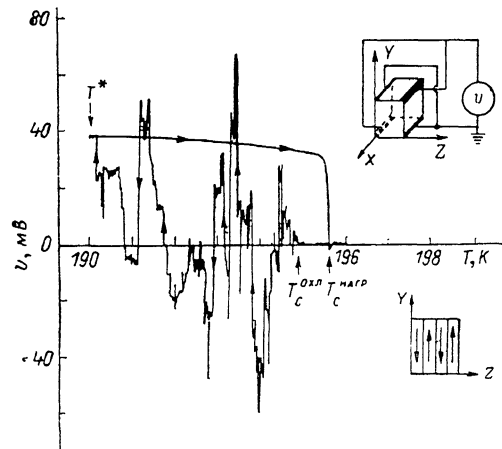
а разность потенциалов  $v$  между двумя парами электродов, нанесенных на ребра образца (см. рисунок), равна

$$v = \tau l/C = (2l/C) q_{23}, \quad (2)$$

где  $\tau = 2q_{23}$  — линейная плотность связанных электрических зарядов на ребрах,  $l$  — длина электрода,  $C$  — емкость образца. Коэффициент  $K$  в равенствах (1), (2) для образца с регулярной доменной структурой (см. рисунок) равен +1, а в том случае, когда  $P_s$  в каждом домене изменяет знак на противоположный,  $K=-1$ , т. е. коэффициент  $K$ , а следовательно,  $q_{23}$  и  $v$  чувствительны в «фазе» пространственно-модулированной поляризации. Нарушение регулярности доменной структуры должно приводить к тому, что среднее по образцу абсолютное значение  $q_{23}$  (а также  $v$ ) уменьшается, т. е. значение  $K$ , вообще говоря, может принимать любые значения в интервале  $-1 \leq K \leq +1$  [4].

Схема соединения электродов образца с электрометром показана на рисунке. Размеры образца  $4 \times 4 \times 4.5$  мм. Измерение разности потенциалов  $v$  проводилось как при охлаждении, так и при нагревании кристалла. Сигналы на выходе электрометра записывались на самописец ENDIM-622.01. Значение емкости  $C$  на входе электрометра составляло 100 пКФ.

Результаты измерений приведены на рисунке. Видно, что при охлаждении кристалла через точку  $T_c^{\text{окл}}$  структурного перехода в полярную фазу изменение разности потенциалов  $v$  имеет осциллирующий характер, а при нагревании — монотонный. Выше  $T_c^{\text{окл}}$  при охлаждении и выше  $T_c^{\text{нагр}}$  при нагревании, т. е. в области несоразмерной фазы, наблюдается аналогичное поведение  $v$ . Однако изменение  $v$  в этой области на два порядка меньше, чем в полярной фазе, поэтому на рисунке в выбранном масштабе  $v$  в несоразмерной фазе практически равно нулю. Температурный гистерезис точки перехода в соразмерную полярную фазу согласуется с данными [2] и равен  $\Delta T_c = T_c^{\text{нагр}} - T_c^{\text{окл}} = 0.8$  К.



Температурная зависимость разности потенциалов  $v$ , пропорциональной аномальной компоненте макроскопического квадрупольного электрического момента  $q_{23}$  кристалла  $\text{Rb}_2\text{ZnCl}_4$ , при охлаждении и нагреве.

На вставках — схемы расположения электродов и доменов в кристалле.

Следует отметить, что если при нагревании не переходить через точку  $T_c^{\text{нагр}}$ , то при повторном охлаждении кристалла в полярной фазе зависимость  $v(T)$  монотонна вплоть до температуры  $T^*$  (см. рисунок), до которой проводилось первое охлаждение, и осциллирующий характер изменения  $v$  приобретает только при дальнейшем охлаждении ниже  $T^*$ . При нагревании кристалла, как и в первом цикле измерения, изменение  $v$  монотонно. Если же при нагревании зайти за температуру  $T_c^{\text{нагр}}$ , т. е. перевести кристалл в область несоразмерной фазы, то при последующем охлаждении зависимость  $v(T)$  имеет вид, аналогичный первому измерению.

Обнаруженный электрический эффект выявляет существенно различный характер перестройки доменной структуры кристалла в зависимости от направления изменения температуры. При понижении  $T$  структура активно перестраивается, причем ее изменение идет скачкообразно с нарушением ее регулярности или «фазы» пространственно-модулированной поляризации (о чем свидетельствует изменение знака  $v$ ). При повышении  $T$  доменная структура в широком интервале  $T$  практически не изменяется, а затем быстро исчезает в узкой области точки перехода  $T_c^{\text{нагр}}$ .

Пользуясь равенствами (1), (2), можно по экспериментальным данным рассчитать максимальную амплитуду изменения  $q_{23}$  при понижении  $T$ ,  $\Delta q_{23} \sim Cv_{\max}/2l \sim 0.1$  ед. СГСЭ, где  $C \approx 100$  пКФ,  $l \approx 0.5$  см, а максимальная амплитуда изменения разности потенциалов на рисунке  $v_{\max} \approx 120$  мВ. Это значение  $\Delta q_{23}$  согласуется с оценкой  $\Delta q_{23}$ , сделанной по формуле (1) при условии, что «фаза» распределения поляризации в образце изменяется

на  $180^\circ$  (в каждом домене направление  $P_s$  изменяется на противоположное или коэффициент  $K$  в (1) принимает значение  $-4$  вместо  $+1$ ), а именно  $\Delta q_{23} \sim |P_s|L \sim 0.1$  ед. СГСЭ ( $P_s \approx 0.2$  мкКл/см $^2$  [1],  $L \approx 10^{-4}$  см). Нетрудно проверить, что при всех других возможных вариантах изменения доменной структуры (изменение величины  $P_s$  и  $L$ , нарушение регулярности структуры) значения  $q_{23}$  должны быть по крайней мере на порядок меньше.

Осцилляции диэлектрической проницаемости  $\epsilon_y$  кристаллов  $Rb_2ZnCl_4$  в области несоразмерной фазы наблюдались в [5], причем, так же как и в исследуемом случае, отчетливые осцилляции  $\epsilon_y$  проявлялись только при охлаждении кристалла. По-видимому, в основе этих эффектов лежит один механизм — «закрепление» квазидоменных структур (солитонов) в несоразмерной фазе на структурных неоднородностях и их освобождение при определенных изменениях внешних условий.

Отметим, что аналогичные особенности изменения квадрупольного момента с температурой наблюдались нами также в полярной фазе кристаллов группы KDP. Однако наиболее ярко они проявляются в кристаллах  $Rb_2ZnCl_4$ .

#### Список литературы

- [1] Hamano K., Ikeda Yo., Fujimoto T., Ema K., Hirotsu Sh. // J. Phys. Soc. Jpn. 1980. V. 49. N 6. P. 2278—2286.
- [2] Sawada Sh., Shiroishi Y., Yamamoto A., Takashige M., Matsuo M. // J. Phys. Soc. Jpn. 1977. V. 43. N 6. P. 2099—2100.
- [3] Gladkii V. V., Kirikov V. A., Zheludev I. S. // Ferroelectrics. 1988. V. 79. Pt II. P. 283—286.
- [4] Gladkii V. V. // Phase Transitions, section A. 1986. V. 6. N 4. P. 273—328.
- [5] Unruh H.-G. // J. Phys. C: Sol. St. Phys. 1983. V. 16. N 17. P. 3245—3255.

Институт физики  
Дагестанский филиал АН СССР  
Махачкала  
Институт кристаллографии АН СССР  
Москва

Поступило в Редакцию  
17 января 1989 г.

УДК 548 : 537.611

Физика твердого тела, том 31, в. 5, 1989  
Solid State Physics, vol. 31, № 5, 1989

## ОСОБЕННОСТИ СПЕКТРОВ МАГНИТОСТАТИЧЕСКИХ ВОЛН, ОБУСЛОВЛЕННЫЕ АНИЗОТРОПИЕЙ

И. В. Зависляк, В. М. Талалаевский, Л. В. Чевнюк

Известно [1—4], что магнитная анизотропия оказывает существенное влияние на спектры магнитостатических волн (МСВ) ферритовых пленок. В частности, деформируются спектры поверхностных и объемных МСВ, появляются новые типы волн, обусловленные только анизотропией.

Целью настоящей работы является экспериментальное исследование спектров поверхностных и объемных МСВ в окрестности частоты однородного ферромагнитного резонанса  $\omega_0$  и выявление их особенностей, обусловленных анизотропией.

Экспериментальные исследования АЧХ СВЧ электродинамической структуры (ЭС), включающей ферритовую пленку, намагниченную в плоскости, и две микрополосковые антенны (передающую и приемную), позволяют достаточно подробно изучить бегущие МСВ в окрестности  $\omega_0$ . Согласно теории Дэймона и Эшбаха [5], дисперсионные ветви поверхностных МСВ (ПМСВ) и обратных объемных МСВ (ООМСВ) изотропного ферритового слоя выходят из одной точки  $\omega = \omega_0 = \gamma \sqrt{H_0(H_0 + 4\pi M)}$ ,  $k=0$ , где  $H_0$  — внешнее подмагничивающее поле,  $\gamma$  — модуль гиромагнитного